

II-245 賦存地下水の地域調査(その1)

大阪大学工学部 正会員 室田 明
大阪府立工高専 正会員 ○佐藤 邦明

序

近年、わが国において大気・水・土壤等の環境汚染に関連して、いわゆる開発と環境保全の問題が大きくクローズアップされていく。この国家的課題にはあらゆる方面から総合的な努力がほされねばならないが、まずもって自然環境ものの実態を十分把握することが先決である。本研究はこうした観点から、水資源開発と地盤沈下公害にからむ地下水の実態調査に主眼をおき、大阪平野を対象に工学的立場から検討しようとするものである。

本報では、大阪平野全域の地下水位センター マップと地下推定岩盤センター マップを作成し、巨視的な地下水挙動と平野部の Basinについて述べる。

1.1 地下水位センター マップ

大阪平野は、その形成の歴史的プロセスはさておき、大阪湾に面し、周囲和泉・生駒・六甲連山ぐらかにまれ、基岩は主として花崗岩である。平野部での地下水は豊富で多くの既設井戸が見られる。ここではこれら井戸の自然水位(揚水以前の水位)とともに地下水の挙動を考える。

井戸は農業用・水道用・工業用に大別され、觀測用(大阪府・大阪市の管理する地盤沈下觀測用)も併せて図1.1に示されている。自然地下水位をO.P.基準に整理し、精度上 20m センターを記入している。これによると、地下水位がO.P.より高いのは南地域の堺市、岸和田市の丘陵、山間と北の枚方市付近であり、その他の地域はO.P.より低く、特に、淀川左岸側で東大阪市、右岸側で茨木・高槻市で -40m の低地域がある。この自然地下水の低地域は長年月の揚水により、水位の回復が進んでいるものと考えられる。周知のこととく、大阪市・尼崎市では地盤沈下防止のため揚水されていないため、こうした低地域は見られない。このセンター マップより地下水流动方向は仄め、ばに把握できるが、地下深部で透水性、難透水性、不透水性層が幾重にも互層をなしており、被圧地下水があり細かく検討できない。この点に関してはボーリング結果・電気検層などより、塩水侵入、降雨、河川漏水等の関連において検討する必要がある。

なお、地下水揚水と地盤沈下の相関について今さら議論を要しないが、参考のため昭和46年度の地盤沈下等量線を記入してある。明らかに、両者にはいい相関が認められる。

1.2 推定岩盤センター マップ

大阪平野のBasinについては過去推定した例がなく、全くその規模が判てない。堆積層が厚いため、ボーリングで深層岩盤まで達した資料は一例しか報告されてない。筆者らは重力偏差の既存データに注目し、重力法(gravity method)により岩盤センター マップを推定する。

この方法は原理的に比較的岩盤が深い場合、上層(沖積層・洪積層・丘陵等)と下層(岩盤層)と

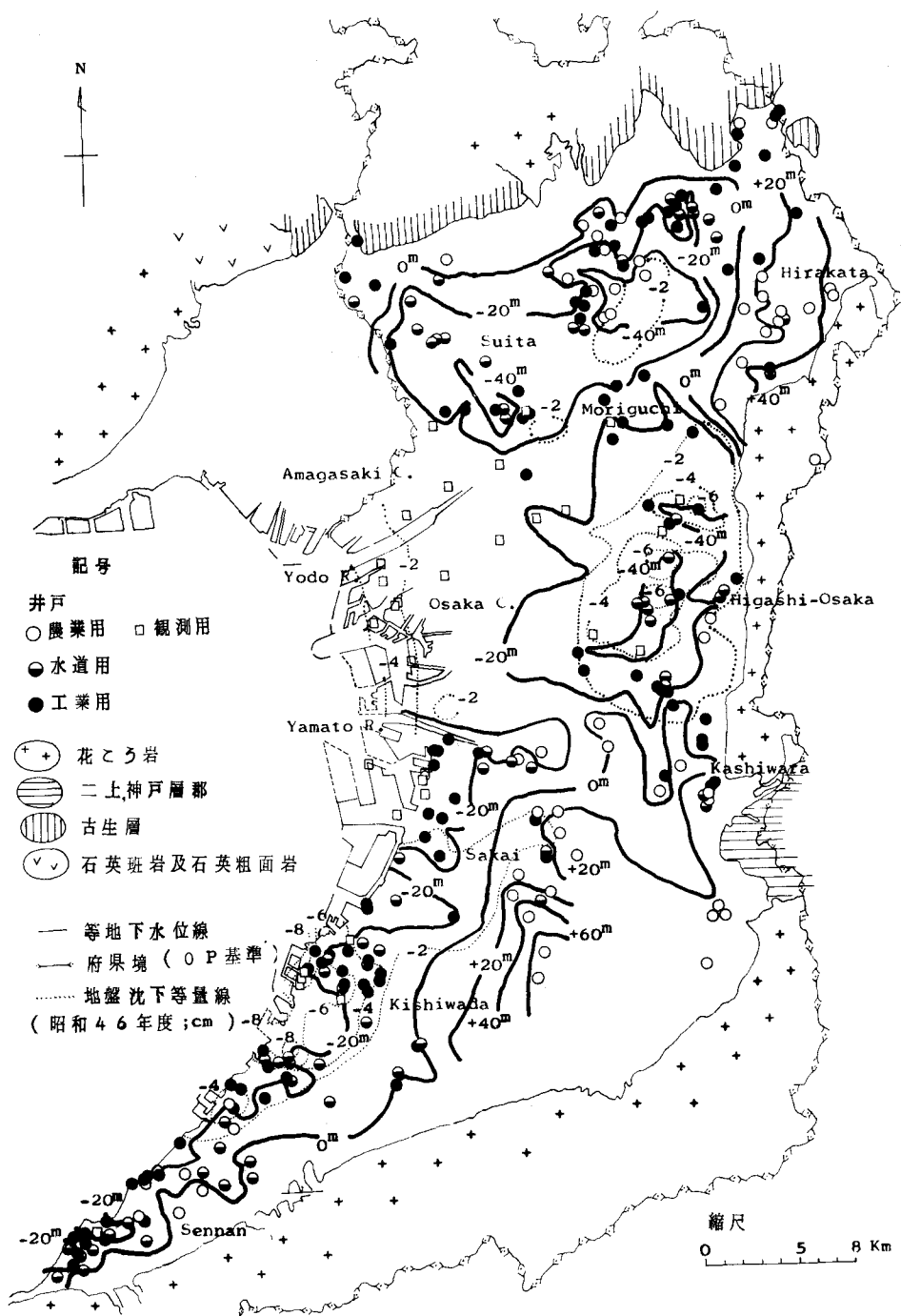


図1-1 大阪平野の(自然地下水位)コンターマップ^o (参考文献1)による)

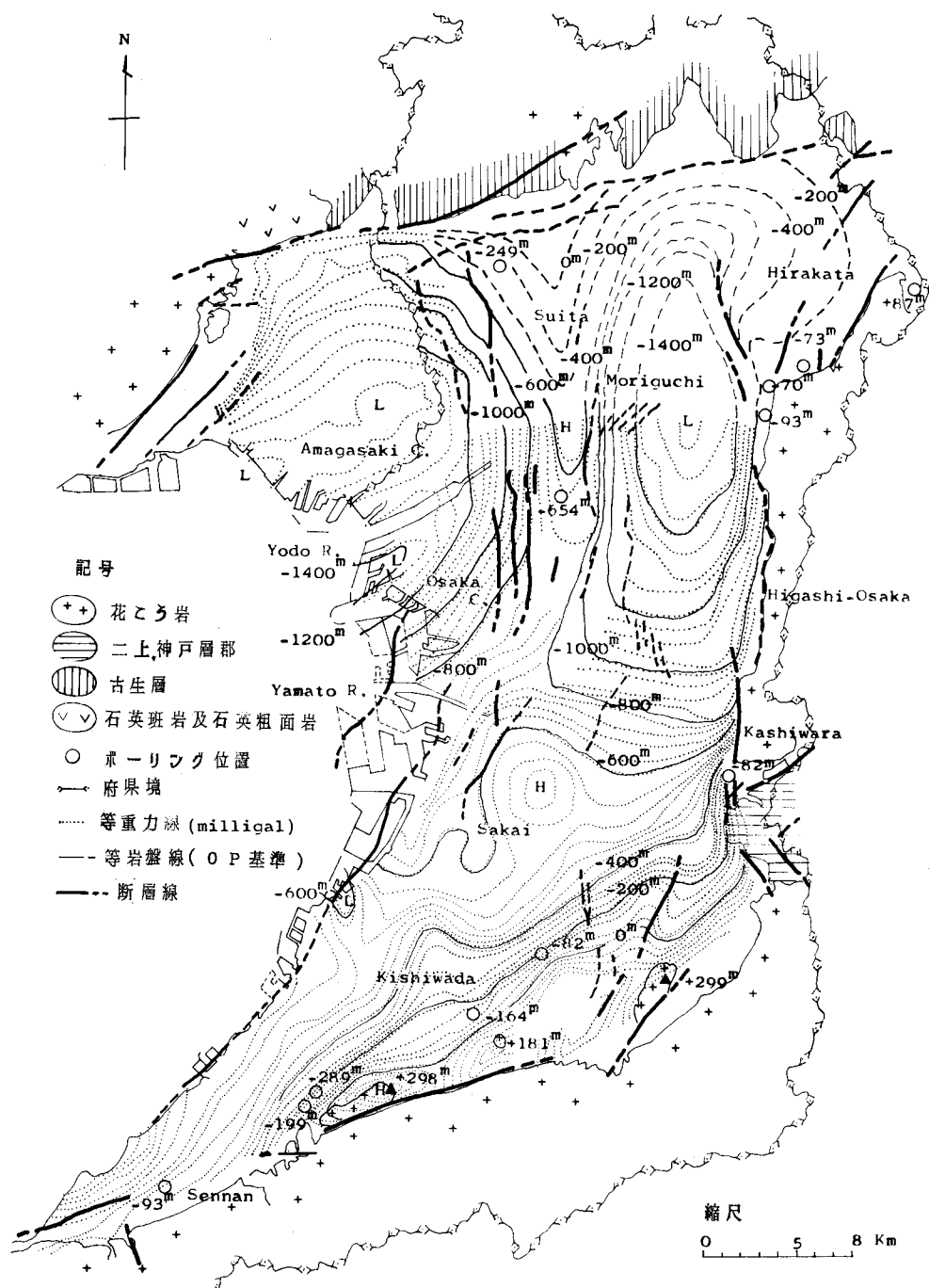


図1.2 推定地下岩盤コニターマップ

の二層構造について、あまり重力偏差が局地的に著しく変らない場合に有効である。図1・2は等重力差コンターをmilligalで描いたものである。²⁾理論的に、地表から岩盤までの深さを決定するには、細かい議論はさておき、一応次式によて推定できる。³⁾

$$\frac{g}{g} = \frac{4G}{2\pi f(\rho_2 - \rho_1)} \quad , \quad (1 \cdot 1) \quad g : \text{地表から岩盤までの深さ (cm)} \\ g : \text{重力偏差 (milligal) } (10^{-3} \text{ cm/sec}^2) \\ f : \text{万有引力定数 } (= 6.673 \cdot 10^{-8} \text{ cm}^3/\text{g} \cdot \text{sec}^2) \\ \rho_1 : \text{上層 (沖積層・洪積層など) の平均密度 } (\text{g/cm}^3) \\ \rho_2 : \text{下層 (岩盤) の密度 } (\text{g/cm}^3)$$

つまり、式(1・1)は $\frac{g}{g}$ と g が線型的関係をもつことを示しているから、岩盤コンター・マップは等重力コンターと同じパターンをもつことになる。この方法で、最も重要なことは ρ_1 をどう採るかである。

実際に、岩盤コンターを推定するにはつぎのようにする。まず、信頼できる岩盤まで到達した深層ボーリング結果を少なくとも(適当な距離をもつ)二例を用意し、一点は starting point 他は check point とする。この場合、図1・2中、大和川を境に北の全域で、ボーリング O.P. - 654m が starting point とし、吹田市の O.P. - 249m を check point とする。そこで、式(1・1)へ $\rho_2 = 2.7 \text{ g/cm}^3$ (花崗岩)、 $\rho_1 = 2.25 \text{ g/cm}^3$ を代入して、1 milligalに対し、 $\frac{g}{g} = 53.0$ である。同じく、南の全域では岸和田の山間の花崗岩露出点 + 181m を Starting point として、 $\rho_1 = 2.1$ 、 $\rho_2 = 2.7$ とし、 $\frac{g}{g} = 39.8$ となる。

したがって、推定岩盤コンターマップより大阪平野の Basin はその中央部に南北にのびる高い峰があり、大阪港、大東市付近に 1400m 程度あるのはそれより深い低所がある。これら低所と地下水位コンターの落込みとの関連は興味深いものであろう。

なお、式(1・1)のみによて岩盤コンターを推定すれば、誤りを犯す危険があり、地質図、地質構造上の配慮が不可欠である。この点も加え、講演時に詳しく述べる。⁴⁾

最後に、今回の報告において、大阪大学理学部 中世古助教授、大阪市立大学理学部 鶴巻助教授、京都大学理学部 両部講師から有益な示唆をいただいたこと、また資料蒐集に大阪府都市河川課、大阪市環境保健局、建設省近畿地建淀川工事事務所の各位の御協力を得たことを記して謝意を表わしたい。さらに、本研究は文部省科研(特定)昭46年度水資源に関する貯留・調節機能の研究(代表者、大阪大学工学部 室田 明)よりの補助を得て行なわれていることを付記し、関係各位に深甚なる謝意を表わしたい。

参考文献

- 1) 経済企画庁 総合開発局 國土調査課 淀川・大和川・紀ノ川水系調査書、昭.45.3
- 2) Editorial Committee for Technical Report on Osaka Land Subsidence, Report on Land Subsidence in Osaka, Sept. 1969 P. 48
- 3) N. Kumagai, Studies in the Distribution of Gravity Anomalies in North-East Honshū and the Central part of Nippon Trench, Japan, 测地学会年会報告、東京、1940 PP: 543 ~ 549
- 4) 日本建築学会近畿支部 土質工学会関西支部 編著、大阪地盤図、コロナ社、1966.